

УДК532.59

ВОЛНОВЫЕ ХАРАКТЕРИСТИКИ СТЕКАЮЩЕЙ ПЛЕНКИ ЖИДКОСТИ ПРИ НЕУСТОЙЧИВОСТИ МАРАНГОНИ

Л.А. Прокудина

Представлена математическая модель волнового течения не-изотермической пленки жидкости. Коэффициенты дисперсионного уравнения включают, в частности, градиенты температуры, поверхностную вязкость. Рассчитаны волновые характеристики, области неустойчивости вертикальной пленки воды при неустойчивости Марангони. Определены волновые числа, соответствующие максимальному значению инкремента, при умеренных числах Рейнольдса.

Ключевые слова: жидкая пленка; неустойчивость Марангони; инкремент; фазовая скорость.

Технологические процессы, связанные с переносом тепла и массы через поверхность раздела между жидкой и газовой фазами [1, 2], широко распространены в химической, нефтехимической, энергетической, металлургической, пищевой и других отраслях промышленности. Теплообменные аппараты, в которых реализуется течение тонких пленок жидкости под действием силы тяжести, весьма перспективны в химической, нефтехимической технологии. В тонких пленках жидкости обеспечиваются высокие скорости переноса тепла и массы в сочетании с малой толщиной пленки, но то же время приходится решать сложнейшие вопросы, связанные с межфазной неустойчивостью, влиянием на нее разнообразных физико-химических факторов, обусловленных, например, наличием градиентов температуры, концентрации вещества на межфазной поверхности, фазовыми переходами. Межфазная неустойчивость, связанная с эффектом Марангони, затрагивает вопросы формирования и развития диссипативных структур. Формирование диссипативных структур в виде ячеек, вихревых потоков наблюдается как при экспериментальных исследованиях, так и при работе технологического оборудования. Исследование таких явлений в пленках жидкости представляют значительный интерес для науки и проектирования современной пленочной аппаратуры.

Математическая модель течения трехмерной пленки жидкости толщиной δ по твердой наклонной поверхности под действием силы тяжести представляет собой систему уравнений Навье–Стокса и уравнения неразрывности с граничными условиями, учитывающими влияние процессов теплопереноса, имеет вид [3, 4]:

$$\left\{ \begin{aligned} \frac{\partial u_+}{\partial t_+} + u_+ \frac{\partial u_+}{\partial x_+} + v_+ \frac{\partial u_+}{\partial y_+} + w_+ \frac{\partial u_+}{\partial z_+} &= -\frac{\partial P_+}{\partial x_+} + F_x + \frac{1}{\text{Re}} \left(\frac{\partial^2 u_+}{\partial x_+^2} + \frac{\partial^2 u_+}{\partial y_+^2} + \frac{\partial^2 u_+}{\partial z_+^2} \right), \\ \frac{\partial v_+}{\partial t_+} + u_+ \frac{\partial v_+}{\partial x_+} + v_+ \frac{\partial v_+}{\partial y_+} + w_+ \frac{\partial v_+}{\partial z_+} &= -\frac{\partial P_+}{\partial y_+} + F_y + \frac{1}{\text{Re}} \left(\frac{\partial^2 v_+}{\partial x_+^2} + \frac{\partial^2 v_+}{\partial y_+^2} + \frac{\partial^2 v_+}{\partial z_+^2} \right), \\ \frac{\partial w_+}{\partial t_+} + u_+ \frac{\partial w_+}{\partial x_+} + v_+ \frac{\partial w_+}{\partial y_+} + w_+ \frac{\partial w_+}{\partial z_+} &= -\frac{\partial P_+}{\partial z_+} + F_z + \frac{1}{\text{Re}} \left(\frac{\partial^2 w_+}{\partial x_+^2} + \frac{\partial^2 w_+}{\partial y_+^2} + \frac{\partial^2 w_+}{\partial z_+^2} \right), \\ \frac{\partial u_+}{\partial x_+} + \frac{\partial v_+}{\partial y_+} + \frac{\partial w_+}{\partial z_+} &= 0, \end{aligned} \right. \quad (1)$$

$$y = 0: \quad u_+ = w_+ = 0, \quad v_+ = V_0; \quad (2)$$

$$y = \delta: \quad \frac{1}{\text{Re}} \left[2 \frac{\partial u_+}{\partial x_+} \frac{\partial \delta_+}{\partial x_+} - 2 \frac{\partial v_+}{\partial y_+} \frac{\partial \delta_+}{\partial x_+} - \left(\frac{\partial v_+}{\partial x_+} + \frac{\partial u_+}{\partial y_+} \right) + \frac{\partial \delta_+}{\partial z_+} \left(\frac{\partial u_+}{\partial z_+} + \frac{\partial w_+}{\partial x_+} \right) \right] + \\ + M \frac{\partial \delta_+}{\partial x_+} + N \left(\frac{\partial^2 u_+}{\partial x_+^2} + \frac{\partial^2 w_+}{\partial x_+ \partial z_+} \right) + \tau_x = 0; \quad (3)$$

$$\frac{1}{\text{Re}} \left[2 \frac{\partial w_+}{\partial z_+} \frac{\partial \delta_+}{\partial z_+} - 2 \frac{\partial v_+}{\partial y_+} \frac{\partial \delta_+}{\partial z_+} - \left(\frac{\partial w_+}{\partial y_+} + \frac{\partial v_+}{\partial z_+} \right) + \frac{\partial \delta_+}{\partial x_+} \left(\frac{\partial u_+}{\partial z_+} + \frac{\partial w_+}{\partial x_+} \right) \right] + \\ + M \frac{\partial \delta_+}{\partial z_+} + N \left(\frac{\partial^2 w_+}{\partial z_+^2} + \frac{\partial^2 u_+}{\partial x_+ \partial z_+} \right) + \tau_z = 0; \quad (4)$$

$$P_+ = \frac{2}{\text{Re}} \left[\frac{\partial v_+}{\partial y_+} - \frac{\partial \delta_+}{\partial x_+} \left(\frac{\partial u_+}{\partial y_+} + \frac{\partial v_+}{\partial x_+} \right) - \frac{\partial \delta_+}{\partial z_+} \left(\frac{\partial w_+}{\partial y_+} + \frac{\partial v_+}{\partial z_+} \right) \right] - \sigma_+ \left(\frac{\partial^2 \delta_+}{\partial x_+^2} + \frac{\partial^2 \delta_+}{\partial z_+^2} \right) + \\ + P_0 - \text{sign } \Delta T \frac{\frac{\rho_1}{\rho_2} - 1}{(\text{Re} \cdot \text{Pr} \cdot \text{Ku})^2} \frac{1}{\delta^2}; \quad (5)$$

$$\frac{\partial \delta}{\partial t_+} = v_+ - u_+ \frac{\partial \delta}{\partial x_+} - w_+ \frac{\partial \delta}{\partial z_+} + \frac{1}{\text{Re} \cdot \text{Pr} \cdot \text{Ku}} \frac{1}{\delta}. \quad (6)$$

Безразмерные величины в (1–6): $u_+ = \frac{u}{u_0}$, $v_+ = \frac{v}{u_0}$, $w_+ = \frac{w}{u_0}$ – проекции скорости на соответствующие оси координат; $t_+ = \frac{tu_0}{\delta_0}$ – время; $x_+ = \frac{x}{\delta_0}$, $y_+ = \frac{y}{\delta_0}$, $z_+ = \frac{z}{\delta_0}$ – переменные; $\delta_+ = \frac{\delta}{\delta_0}$ – толщина жидкой пленки;

$Re = \frac{u_0 \delta_0 \rho}{\mu}$ – число Рейнольдса; $F_x = \frac{g_x \delta_0}{u_0^2}$, $F_y = -\frac{g_y \delta_0}{u_0^2}$, $F_z = \frac{g_z \delta_0}{u_0^2}$ – проек-

ции числа Фруда на соответствующие оси координат; $P_+ = \frac{P}{\rho u_0^2}$ – давление;

$N = \frac{k + e}{\rho \delta_0^2 u_0}$ – параметр поверхностной вязкости; $\bar{\tau}_x = \frac{\tau_x}{\rho u_0^2}$, $\bar{\tau}_z = \frac{\tau_z}{\rho u_0^2}$ – про-

екции касательного напряжения; $M = M_T + M_K$ – параметр Марангони:

$M_T = \frac{\partial \sigma}{\partial T^0} \left(\frac{\partial T^0}{\partial y} \right)_{y=\delta} \frac{1}{\rho u_0^2}$, $M_K = \frac{\partial \sigma}{\partial K} \frac{\partial K}{\partial \delta} \frac{1}{\rho u_0^2}$; $Pr = \frac{\rho c_p \nu}{\lambda}$ – число Прандтля;

$Ku = \frac{r'}{c_p \Delta T}$ – число фазового перехода; $\sigma_+ = \frac{\sigma}{\rho u_0^2 \delta_0}$ – параметр поверхно-

стного натяжения. Здесь u_0 – средняя скорость основного течения жидкой пленки, δ_0 – толщина пленки в невозмущенном состоянии. В процессе конденсации $\text{sign } \Delta T = 1$, а в процессе испарения $\text{sign } \Delta T = -1$.

Поверхностное натяжение зависит от температуры и концентрации веществ на свободной поверхности жидкой пленки. Градиенты температуры и концентрации вызывают неоднородность поверхностного натяжения, что приводит к возникновению на межфазной поверхности, например, термокапиллярных сил. Согласно эффекту Марангони поверхностный слой приходит в движение и вовлекает в него близлежащие приповерхностные слои. Идея о существовании внутри пленки потоков жидкости с противоположным направлением циркуляции во впадинах и под гребнями была высказана П.Л. Капицей [5]. Циркуляционные потоки благодаря создаваемому ими дополнительному перемешиванию значительно интенсифицируют процесс переноса вещества и тепла через жидкую пленку. Интенсификация в жидких пленках процессов тепло- и массообмена связана с повышением эффективности, экологической безопасности и надежности пленочных аппаратов.

Поставленная задача (1)–(6) решена методами возмущений [4] и выведено дисперсионное уравнение:

$$\omega(a_7 k_x + a_9 k_z + i) + a_1 k_x^4 + a_2 k_x^2 k_z^2 + a_3 k_z^4 - a_4 i k_x^3 - a_5 i k_z^3 - a_6 k_x^2 - a_8 k_x k_z - a_{10} k_z^2 + a_{11} i k_x + a_{12} i k_z - \frac{1}{Re \cdot Pr \cdot Ku} = 0, \quad (7)$$

где $\omega = \omega_r + i\omega_i$, k_Σ – волновой вектор, направленный под углом α к оси

$$OX: k_\Sigma = \sqrt{k_x^2 + k_z^2}, \quad \text{tg } \alpha = \frac{k_z}{k_x}.$$

Коэффициенты дисперсионного уравнения (7) имеют вид:

$$\begin{aligned}
 a_1 &= -\frac{\text{Re}\sigma}{3}, \quad a_2 = 2a_1, \quad a_3 = a_1, \quad a_4 = -\frac{\text{Re}^2 F_x N}{2}, \quad a_5 = -\frac{\text{Re}^2 F_z N}{2}, \quad a_6 = a_6^* + a_6^1, \\
 a_6^* &= -\frac{\text{Re}F_y}{3} - \frac{\text{Re}M}{2} + \frac{3}{40}\text{Re}^3 F_x (\tau_x + F_x), \quad a_6^1 = \frac{2}{3}\text{Re} \cdot \text{sign} \Delta T \frac{C}{(\text{Re} \cdot \text{Pr} \cdot \text{Ku})^2}, \\
 a_7 &= \frac{5}{24}\text{Re}^2 F_x, \quad a_8 = \frac{3}{20}\text{Re}^3 F_x F_z + \frac{3}{40}\text{Re}^3 (F_z \tau_x + F_x \tau_z), \quad a_9 = \frac{5}{24}\text{Re}^2 F_z, \\
 a_{10} &= a_{10}^* + a_{10}^1, \quad a_{10}^* = -\frac{\text{Re}F_y}{3} - \frac{\text{Re}M}{2} + \frac{3}{40}\text{Re}^3 F_z (\tau_z + F_z), \\
 a_{10}^1 &= \frac{2}{3}\text{Re} \cdot \text{sign} \Delta T \frac{C}{(\text{Re} \cdot \text{Pr} \cdot \text{Ku})^2}, \quad a_{11} = -\text{Re}F_x - \text{Re}\tau_x, \quad a_{12} = -\text{Re}F_z - \text{Re}\tau_z.
 \end{aligned}$$

Уравнение (7) позволяет рассчитать волновые характеристики: ω_r – частоту, ω_i – инкремент, фазовую скорость $c_r = \frac{\omega_r}{k}$ для диапазона чисел Рейнольдса $\text{Re} \leq 20$.

Вычислительные эксперименты по влиянию неустойчивости Марангони (параметр $M > 0$) на волновые характеристики проведены для вертикальной пленки воды. В этом случае проекции числа Фруда равны:

$$F_x = \frac{3}{\text{Re}} - \frac{3}{2}\tau_x, \quad F_y = 0.$$

Поверхностное натяжение связано с числом Рейнольдса зависимостью $\sigma = 4887\text{Re}^{-\frac{5}{3}}$.

На рис. 1, 2 представлены инкремент ω_i и фазовая скорость c_r . При неустойчивости Марангони для всего исследуемого диапазона чисел Рейнольдса заметно увеличивается величина инкремента и уменьшается фазовая скорость по сравнению с соответствующими их величинами (рис. 3, 4) при свободном стекании пленки, когда $M = 0$.

При неустойчивости Марангони область неустойчивого течения пленки жидкости расширяется по диапазону волновых чисел для исследуемых чисел Рейнольдса $\text{Re} \leq 20$ (рис. 5). В области неустойчивости определено положение кривых, соответствующих максимальному значению инкремента. Волновым числам, принадлежащим гармоникам максимального инкремента, соответствует минимальное значение фазовой скорости. Режимы течения пленок жидкости с максимальным значением инкремента реализуются в экспериментах [2].

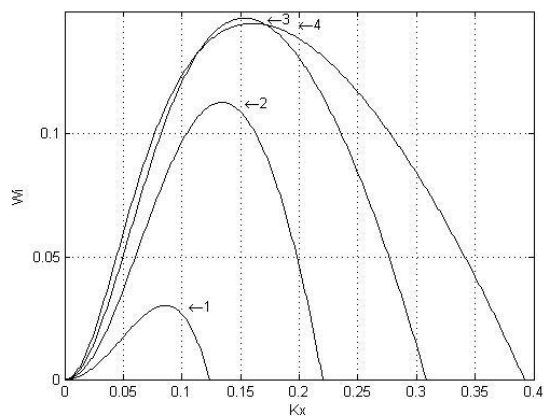


Рис. 1. Зависимость инкремента от волнового числа при $M=1$:
1- $Re=5$, 2-10, 3-15, 4-20

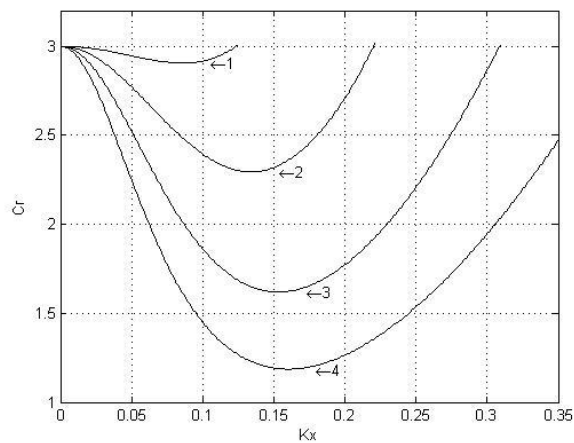


Рис. 2. Фазовая скорость при $M=1$:
1- $Re=5$, 2-10, 3-15, 4-20

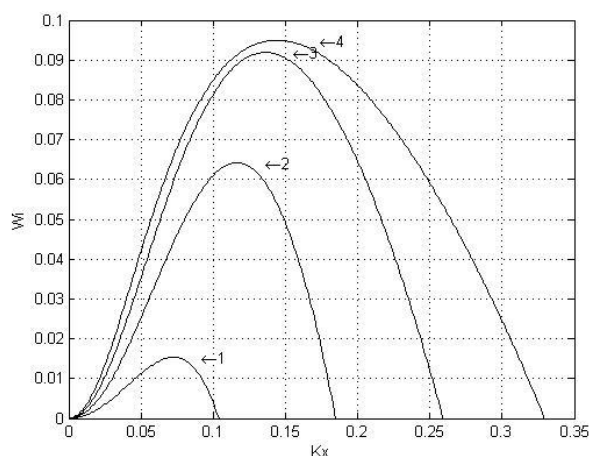


Рис. 3. Зависимость инкремента от волнового числа при $M=0$:
1- $Re=5$, 2-10, 3-15, 4-20

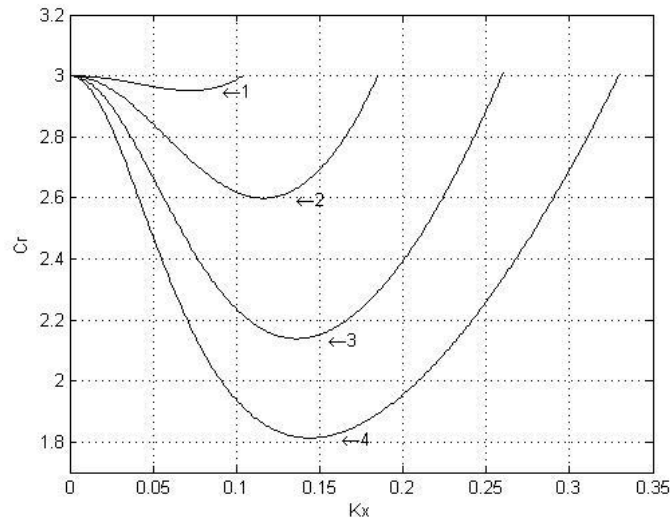


Рис. 4. Фазовая скорость при $M=1$:
1- $Re=5$, 2- 10 , 3- 15 , 4- 20

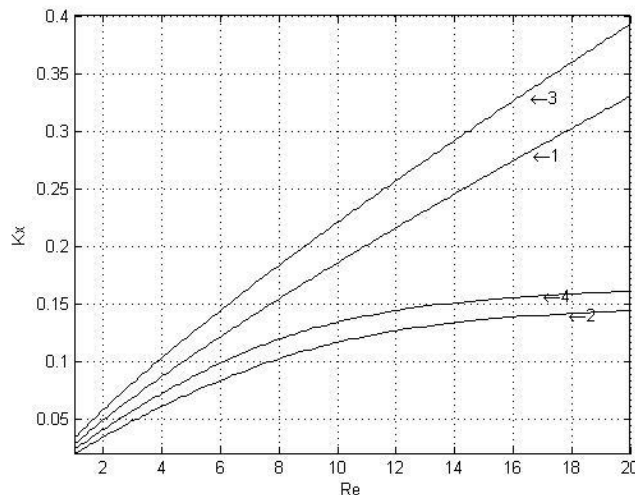


Рис. 5. Область неустойчивости:
кривые нейтральной устойчивости: 1- $M=0$, 3- $M=1$;
кривые максимального инкремента: 2- $M=0$, 4- $M=1$

При значительных градиентах температуры в жидких пленках происходит заметное снижение фазовой скорости и межфазная неустойчивость приводит к разрушению пленок. Зависимость для критических значений параметра Марангони, при которых происходит разрыв жидкой пленки, приведена в работе [3]. В представленных экспериментах по расчету волновых характеристик жидкой пленки значения параметра Марангони принимались меньше их критических значений для каждого числа Рейнольдса.

Библиографический список

1. Холпанов, Л.П. Гидродинамика и теплообмен с поверхностью раздела / Л.П. Холпанов, В.Я. Шкадов. – М.: Наука, 1990. – 271 с.

2. Алексеенко, С.В. Волновое течение пленок жидкости / С.В. Алексеенко, В.Е. Накоряков, Б.Г. Покусаев. – М.: Наука, 1992. – 256 с.

3. Прокудина, Л.А. Неустойчивость неизотермической жидкой пленки / Л.А. Прокудина, Г.П. Вяткин // Доклады РАН. – 1998.– Т. 362, № 6. – С. 770–772.

4. Прокудина, Л.А. Влияние неоднородности поверхностного натяжения на волновое течение жидкой пленки / Л.А. Прокудина // Инженерно-физический журнал. – 2014. – Т. 87, № 1. – С. 158–166.

5. Капица, П.Л. Волновое течение тонких слоев вязкой жидкости / П.Л. Капица // ЖЭТФ. – 1948. – Т. 18, Вып. 1. – С. 3–28.